

有限要素法による波の変形に伴なう底部波動境界層の解析

滝 川 清*・田 津 幹 修**

1. はじめに

波の運動に伴ない底面近傍に発生・発達する流体場の変動特性を明らかにする事は、底質の移動現象を理解し正しく評価する為に不可欠の要素であり、これまで波動境界層に関する数多くの理論的・実験的成果が報告されている。しかしながら、波の変形、特に浅海域での海底変化に対応した波そのものの変形特性の解明および、これに対する境界層運動特性の解明など波運動の非線形性に起因した難しさの為に、これに関する研究¹⁾も少なく波の有限振幅性を考慮した十分な知見も得られていない様である。本報告では、まず、2次元の層流および乱流の境界層方程式を対象として有限要素法による解析を試み、任意の境界層外縁での流速条件を容易に取り扱える計算方法を示す。また、適用計算例として、斜面上を週上変形する波を取り上げてこれの変形解析²⁾を行いこの数値データをもとに本報告の計算方法を適用して、斜面勾配および波形勾配の変化による週上波の変形と底面境界層の変動特性について検討を行う。

2. 基礎方程式と有限要素法による定式化

(1) 基礎方程式

底面に沿って波の進行方向に x 軸、鉛直上向に z 軸をとり、境界層内の速度成分をそれぞれ u, w とすると、2次元での運動方程式、連続式および境界層外縁での運動方程式はそれぞれ次式となる。

$$\frac{\partial u}{\partial t} + u \frac{\partial u}{\partial x} + w \frac{\partial u}{\partial z} = -\frac{1}{\rho} \frac{\partial P}{\partial x} + \frac{1}{\rho} \frac{\partial \tau}{\partial z} \quad \dots(1)$$

$$\frac{\partial u}{\partial x} + \frac{\partial w}{\partial z} = 0 \quad \dots(2)$$

$$\frac{\partial u_b}{\partial x} + u_b \frac{\partial u_b}{\partial x} + w_b \frac{\partial u_b}{\partial z} = -\frac{1}{\rho} \frac{\partial P}{\partial x} \quad \dots(3)$$

式(3)の u_b, w_b は外縁での各方向流速成分である。また、式(1)の右辺の摩擦応力は、いま、層流・乱流の場合とも取り扱える様に次式で表現できるものとする。

$$\frac{\tau}{\rho} = \nu K(z) \frac{\partial u}{\partial z} = N_z \frac{\partial u}{\partial z} \quad \dots(4)$$

ここに、 N_z は渦動粘性係数であって、層流の場合には $K=1$ として与えられる。

(2) 線形境界層方程式の解析

式(1)および式(3)で非線形項 $u(\partial u / \partial x), w(\partial u / \partial z)$ および $u_b(\partial u_b / \partial x), w_b(\partial u_b / \partial z)$ を無視すると境界層の支配方程式は線形の次式となる。

$$\frac{\partial u}{\partial t} = -\frac{1}{\rho} \frac{\partial P}{\partial x} + \frac{\partial}{\partial z} \left(N_z \frac{\partial u}{\partial z} \right) \quad \dots(5)$$

また、境界条件は境界層厚さを δ として

$$u|_{z=0}=0, \quad u|_{z=\delta}=u_b \quad \dots(6)$$

である。式(5)に対して、いま重み関数を W_* として残差方程式を立てると次式を得る。

$$\int \left(\frac{\partial u}{\partial t} + \frac{1}{\rho} \frac{\partial P}{\partial x} \right) \delta W_* dz + \int N_z \frac{\partial u}{\partial z} \frac{\partial}{\partial z} (\delta W_*) dz - \left[N_z \frac{\partial u}{\partial z} \delta W_* \right]_0^\delta \quad \dots(7)$$

いま、解析領域である z 軸方向の線分を区分して各節点間の要素について節点值による直線近似を用いるとし、

$$u = \phi^T u, \quad \frac{\partial u}{\partial t} = \dot{u} = \phi^T \dot{u}$$

$$W_* = \phi^T W_*, \quad -(\partial P / \rho \cdot \partial x) \equiv P_b = \phi^T P_b \quad \dots(8)$$

として Galerkin 法を適用すると次式の様に離散化された式となる。

$$\delta W_*^T \int \phi \phi^T dz \cdot (\dot{u} - P_b) + \delta W_*^T \int N_z \phi_z \phi_z^T dz \cdot u - [\delta W_*^T N_z \phi_z \phi_z^T]^T u = 0 \quad \dots(9)$$

ただし、 $\phi_z = \partial \phi / \partial z$ である。これから解くべき連立方程式は次式で表現できる。

$$M(\dot{u} - P_b) + Ku = 0 \quad \dots(10)$$

ここに、

$$M = \int \phi \phi^T dz = \frac{l}{3} \begin{bmatrix} 1 & 1/2 \\ 1/2 & 1 \end{bmatrix}$$

l : 要素間の長さ

$$K = \int N_z \phi_z \phi_z^T dz - [N_z \phi_z \phi_z^T]_0^\delta$$

$$\equiv K_1 + K_2$$

$$K_1 = \frac{N_z}{l} \begin{bmatrix} 1 & -1 \\ -1 & 1 \end{bmatrix}$$

* 正会員 工博 熊本大学講師 工学部土木工学科
** 正会員 熊本大学講師 工学部環境建設工学科

3. 適用計算例

(1) 計算方法の検証と検討

図-1 は解析方法の検証の為に計算した1例であって線形かつ層流の境界層に対して外縁流速 u_b を微小振幅波理論より与えて計算した場合である。境界層厚さは Shear-Wave の1波長 $\delta = 2\pi/\sqrt{\sigma/2\nu}$ を取り解析範囲とした。また時間間隔 Δt は、せん断波波速 $c_s = \delta/T$ に対する C-F-L 条件を満足するように $\Delta t \leq \Delta z/c_s$ (Δz は境界層の分割幅) として計算する必要があり、ここでは $\Delta z = \delta/10$, $\Delta t = T/20$ (T は波の周期) とした。図-1(a) は、流速分布 u/u_{0m} ($u_{0m} = \sigma H/2 \sinh kh$) を示したものであるが、初期条件として、各点で $u(t=0)=0$ 、また $u_b(t=0)=u_{0m}$ を与えた時の1周期間での位相変化である。実線が計算結果、破線が理論解である。初期条件としては最も悪い条件であるが、この条件でも8~9周期目で破線の理論解と一致する。(b) 図は、定常に達した状態でのせん断力分布 τ/τ_{0m} ($\tau_{0m} = \sqrt{2\rho\nu\sqrt{\sigma/2\nu}(2u_{0m})}$) であり理論解と一致していることが示される。

図-2 は、乱流境界層を対象に、野田³⁾の提案した渦

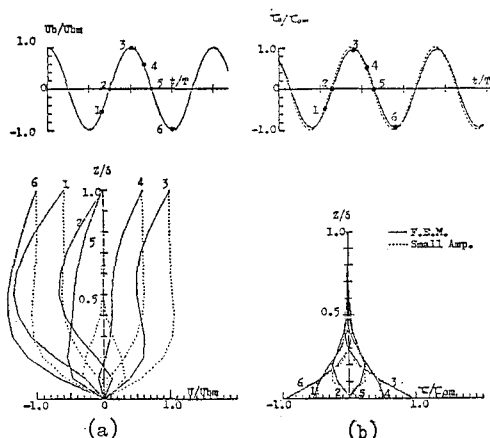


図-1 正弦波による層流境界層の流速およびせん断応力分布

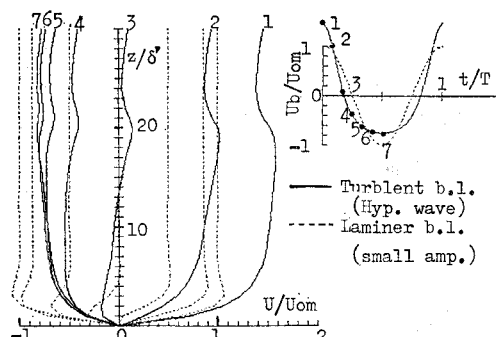


図-2 Hyperbolic 波による乱流境界層の流速分布

動粘性係数の3層分布モデルを仮定し、外縁流速として Hyperbolic 波 ($T=2.5$ s, $h=35$ cm, $H=8.8$ cm) を入力した場合である。ここに $\delta' = \sqrt{\nu/\sigma}$ である。波の有限振幅性によって岸に向かって偏った分布となり、また、層流境界層と異った分布形となることが分る。なお、この場合に外縁流速として正弦波を与えると野田が示した解と一致した結果が得られている。また、2次元の境界層に対する本計算方法の検証の例として図には示していないが、 $w=0$, $dw=0$ として鉛直流速を無視した平面上で正弦波入力に対する計算結果より正弦波の理論解とほぼ一致する事により確かめた。

(2) 傾斜面上での波の変形と底部境界層の解析

波の変形に伴なう底面境界層流体場を求める為に本解析の2次元解析方法を適用した。計算のケースは次表に示す通り勾配 $i=1/20$, $1/30$ の各場合につき、沖波波形勾配の異なるそれぞれ3ケース計算した。週上波の変形計算は文献2で示した解析方法を用い底面上での流速変動データを収録し、これを境界層外縁での条件として使用したものである。境界層の計算に際しては、 $w_b=0$ であるのでここでは鉛直流速を無視して計算することとし、境界層は層流であるとして境界層厚さ δ' を層流解による値を採用して解析範囲とした。

図-3 は水深減少に伴なう底面上での水平流速の全振幅 \hat{u}_b/c_0 (c_0 は沖波波速) を計算データより図示したものである。斜面を週上する内部流速場は、破波直前まで精度よく計算できている事は既に発表したが、底面の流速に関しては図中に示す磯部ら⁴⁾による結果とよく一致

表-1 計算ケース

Case	i	h_i (cm)	T (sec)	$2E$ (cm)	H_o/L_o	h_b (cm)	H_b (cm)	Type
1				1.0	6.5	0.0617	14.6	S
2	1/30	40.0		1.5	9.6	0.0293	14.3	S+P
3				2.5	16.4	0.0079	14.5	12.5
4				1.0	6.7	0.0735	16.1	S
5	1/20	35.0		1.5	11.7	0.0272	13.7	12.5
6				2.5	17.4	0.0083	13.4	P

S ; Spilling breaker , P ; Plunging breaker

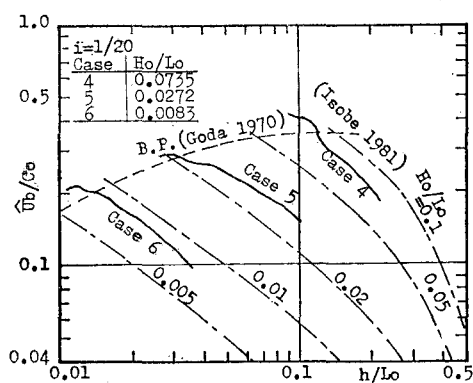


図-3 水深減少に伴なう水平水粒子速度の全振幅の変化

している事が確かめられた。

図-4 は、これ等の計算データをもとに境界層内部の解析計算を行ったもので、Case 4 と Case 6 の各場合の碎波点近傍における水平流速とせん断応力の変動を示したものである。(b) の H_0/L_0 が小さく Plunging 碎波の場合では水深の減少に伴って波の有限振幅性が著しくなり、外縁での流速 u_b/c_0 および底面でのせん断応力 τ_0/τ_{tom} も岸向に偏った大きな変動をするようになる。逆に (a) Case 4 は Spilling 碎波であるが、境界層外縁での u_b/c_0 は碎波点近傍まで正弦的な変動を呈し、せん断応力分布もほぼ対称的な形となるが流速分布は u_b/c_0 の変動でも分るように、むしろ沖向に偏る分布である。

図-5 は、斜面上での水面変動 η およびその底面上で境界層外縁に作用する水平流速 u_0 の変動を岸方向 (+) 沖方向 (-) に区別し、岩垣ら⁵⁾と同様に各位相での 2 乗値の総和をとり、岸向成分の割合を計算した結果である。

$$E_{0n} = \Sigma(\eta_+)^2 / \{ \Sigma(\eta_+)^2 + \Sigma(\eta_-)^2 \} \quad \dots \dots \dots \quad (25)$$

$$U_{0n} = \Sigma(u_+)^2 / \{\Sigma(u_+)^2 + \Sigma(u_-)^2\} \quad \dots \dots \dots \quad (26)$$

で定義している.

図-6 は、底面せん断応力 τ_0 に対しても同様に定義したもので

$$T_{0n} = \Sigma(\tau_{0+})^2 / \{\Sigma(\tau_{0+})^2 + \Sigma(\tau_{0-})^2\} \quad \dots \dots \dots \quad (27)$$

ここに、 $I_+ = \int_0^{t_1} (\tau_{0+}) dt$, $I_- = \int_{t_1}^T (\tau_{0-}) dt$ であって、 τ_0 の岸、沖方向への力積を意味する。図-5、図-6 より、 E_{0n} は水深の減少と共に岸向の傾向が大きくなるが、 H_0/L_0 が大きい場合はむしろ沖向の傾向を示す。また、 U_{0n} は E_{0n} と同様の傾向であるが E_{0n} に比べて各ケー

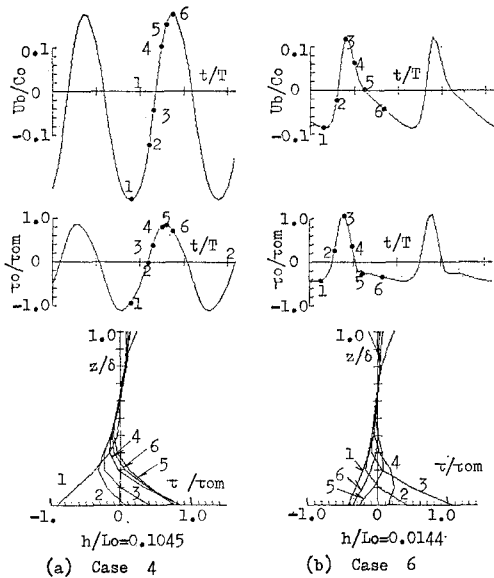


図-4 斜面上での流速とせん断応力の変動

スとも沖向の比率が高くなり、 H_0/L_0 が小さくなると 0.5 に近づく。しかし、Case 6 のように水深の減少と共に沖向の傾向が強くなる場合もある。図-6 のせん断応

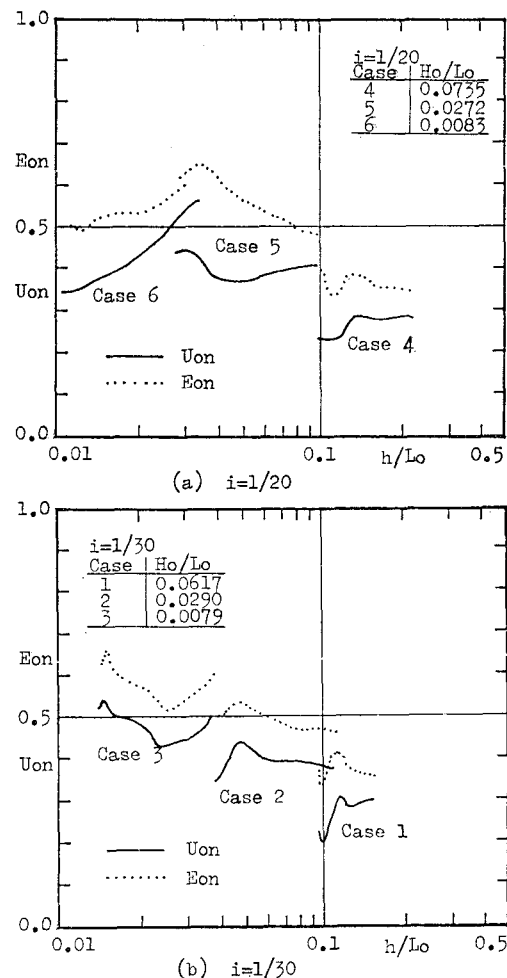


図-5 水面変動と底面流速の岸向成分の割合

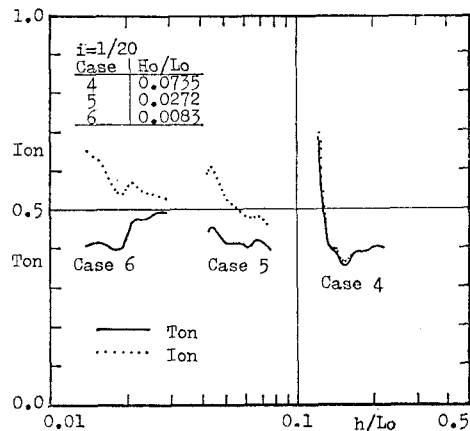


図-6 底面せん断応力の岸向成分の割合

力に関して、 T_{on} は H_0/L_0 が比較的小さい場合、水深変化に余り左右されずほぼ平均的な値となるが H_0/L_0 が大きい場合、碎波点に近づき急な岸向の変化をする。また I_{on} の値は、 H_0/L_0 が大きく、Case 4 のように正弦的変動を呈する場合、 T_{on} と同じ値を取るが、 H_0/L_0 が小さい場合には、水深の減少と共に時間変動の波形の非

対称性が出現し、その結果岸向き成分が大となる。なお、岸・沖向成分の 2 乗値の総和に対する割合は、変動の 1 周期内での平均的卓越方向を意味するもので直接に底質移動の方向性を議論するものではなく、むしろ式(28)の定義による力積の割合を用いて底質移動の傾向を調べる方が妥当の様に思われるが、これらの点に関しては、今回計算の精度も含めて検討する必要がある。

図-7 は、Case 4 および Case 6 の場合、底面境界層内での流速の空間分布 (u/c_0) の時間変化と、図中のある時間でのせん断応力分布 ($\tau/\rho g H_0$) を示したものである。Case 4 の H_0/L_0 が大きい場合には、波前面での水平流速の方向変化が急であり、平均的に境界層内部での沖向流速成分が大であり、何らかの原因で浮遊した物質があると沖向に移動する傾向にあることが分る。また、Case 6 の H_0/L_0 が小さい場合には流速分布は波峰前後の長い区間にわたって平均的に岸向の分布であることが分る。

4. あとがき

本研究は、波動の底面境界層に関して、波運動の有限振幅性を容易に取り扱える有限要素法による解析方法を示し、その検証を行うとともに、斜面上を遡上し変形する波に伴なう底面境界層の特性について計算例をもとに若干の検討を加えた。今後、底質の移動機構と関連してさらに詳細な検討を進めて行きたい。

最後に、本研究の端緒から御指導を賜わった京都大学工学部 岩垣雄一教授ならびに貴重な資料とご助言を載いた浅野敏之助手に謝意を表します。

なお、本研究は昭和 59 年度文部省科学研究費による研究の一部である事を付記し謝意を表する。

参 考 文 献

- 1) 裏 義光・辻 俊一・岩垣雄一: 底面近傍の流体場における波の有限振幅性の影響について、第 31 回海岸工学講演会論文集、pp. 54~58、1984。
- 2) 滝川 清・岩垣雄一・中川政博: 有限要素法による斜面上の波の変形と内部機構の解析、第 30 回海岸工学講演会論文集、pp. 20~24、1983。
- 3) 野田英明: 波動による乱流境界層の発達、第 16 回海岸工学講演集、pp. 23~27、1969。
- 4) 磯部雅彦・堀川清司: 碎波帶付近における流速場の浅水変化に関する研究、第 28 回海岸工学講演会論文集、pp. 5~9、1981。
- 5) 岩垣雄一・裏 義光: 碎波帶を含む固定斜面上の波動場の特性に関する実験的研究、第 27 回海岸工学講演会論文集、pp. 35~39、1980。

図-7 底部境界層内流速の時間変動

